

# Correlatori olografici e rottura di supersimmetria

Flavio Porri - SISSA

arXiv:1205.4709

Riccardo Argurio<sup>1</sup>, Matteo Bertolini<sup>2</sup>,

Lorenzo Di Pietro<sup>2</sup>, FP, Diego

Redigolo<sup>1</sup>

<sup>1</sup>ULB  
<sup>2</sup>SISSA

Il nostro scopo è calcolare funzioni a 2-punti di operatori legati da SUSY in una QFT<sub>4</sub>

- SUSY: le 2-punti sono legate fra loro (e.g. propagatori).
- ~~SUSY~~: le 2-punti differiscono a grandi distanze/piccoli impulsi.

Caso particolare a cui siamo interessati:  
operatori nel super-multipletto della corrente conservata

$$\mathcal{J} = J + i\theta j - i\bar{\theta}\bar{j} - \theta\sigma^m\bar{\theta}j_m + \dots, \quad D^2\mathcal{J} = \bar{D}^2\mathcal{J} = 0$$

La forma generale delle 2-punti di questi operatori è

$$\langle J(k)J(-k) \rangle = C_0(k^2)$$

$$\langle j_\alpha(k)\bar{j}_{\dot{\alpha}}(-k) \rangle = -\sigma_{\alpha\dot{\alpha}}^m k_m C_{1/2}(k^2)$$

$$\langle j_m(k)j_n(-k) \rangle = (k_m k_n - \eta_{mn} k^2) C_1(k^2)$$

$$\langle j_\alpha(k)j_\beta(-k) \rangle = \epsilon_{\alpha\beta} B_{1/2}(k^2)$$

Se SUSY è preservata avremo

$$C_0(k^2) = C_{1/2}(k^2) = C_1(k^2), \quad B_{1/2}(k^2) = 0$$

Queste sono esattamente le quantità rilevanti in General Gauge Mediation [GGM] e sarà la nostra applicazione principale.

# General Gauge Mediation

Formalismo generale per parametrizzare, in GM, gli effetti del settore nascosto.

[Maede, Seiberg, Shih '08]

$$\mathcal{L} = \mathcal{L}_{SSM} + \mathcal{L}_{HS} + 2g_{SM} \int d^4\theta \mathcal{V}\mathcal{J}$$

IDEA: calcolo esatto nel settore nascosto ma perturbativo in  $g_{SM}$

## ... General Gauge Mediation

Dall'espansione in loop ( $g_{SM}$ ) si ottengono le formule per le masse soffici

$$m_{\tilde{f}}^2 = -g^4 \int \frac{d^4 k}{(2\pi)^4} \frac{1}{k^2} (3 C_1(k^2) - 4 C_{1/2}(k^2) + C_0(k^2))$$

$$m_{\tilde{g}} = g^2 B_{1/2}(0)$$

L'informazione necessaria dal settore nascosto è racchiusa nelle funzioni  $C_s$  e  $B_{1/2}$ .

Come possiamo calcolare le 2-punti in un settore nascosto **fortemente accoppiato**?

Usiamo **OLOGRAFIA**!

→ **Holographic Gauge Mediation** ←

Lavori precedenti:

[Benini et al. '09, McGuirk et al. '09]

- Tentativo di costruire il completo modello microscopico: **settore nascosto + messaggeri + settore visibile**.
- Rottura di SUSY per mezzo di una teoria 'cascading' tipo KPV
- $G_{SM}$  su D7-brane (flavor)
- Masse dei gaugini calcolate direttamente (**no GGM**)

Un approccio diverso:

## → Holographic General Gauge Mediation ←

- Ci concentriamo sul settore nascosto e lo descriviamo olograficamente →  $N=2$  (almeno) gauged SUGRA in 5d.
- Calcolo dei correlatori di GGM tramite AdS/CFT.

[McGuirk '11, Skenderis-Taylor '12]

### Scopo ultimo:

Provare a dedurre relazioni tra proprietà geometriche del duale gravitazionale e struttura dello spettro soffre.

## Programma in 3 punti di HGGM

- Si trova un **background gravitazionale 5d** (AAds) che rompe SUSY (tipicamente con un profilo non banale per metrica e qualche scalare).
- Su questo bg si fanno fluttuare i **campi 5d** duali alle correnti e si risolvono le e.d.m. (sufficiente ordine lineare).
- Tramite **rinormalizzazione olografica** si calcola l'azione al bordo da cui si ricavano le funzioni a 2-punti degli operatori duali.



# I campi 5d

Dal dizionario di AdS/CFT

Operatori	al bordo	Campi	5d
$J(x)$	$\Delta = 2$	$D(z, x)$	$m^2 = -4$
$j_\alpha(x)$	$\Delta = 5/2$	$\lambda(z, x)$	$ m  = 1/2$
$j_m(x)$	$\Delta = 3$	$A_\mu(z, x)$	$m = 0$

- Necessaria la presenza di almeno un **multipletto vettoriale N=2** nella SUGRA 5d.

Approccio top-down:

La scelta di una particolare gauged SUGRA fissa

- I possibili background (soluzioni classiche).
- L'accoppiamento tra bg e multipletto vettoriale.

# Esempio: dilaton domain wall

[Gubser, Kehagias-Sfetsos, Constable-Myers '99]

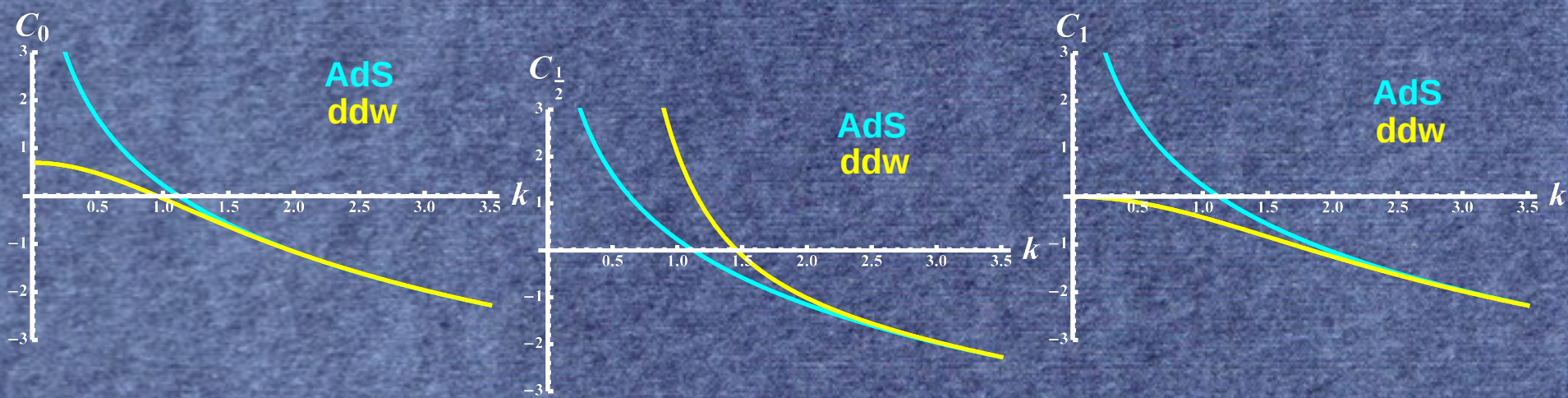
$$ds^2 = \frac{1}{z^2} \left( \sqrt{1 - z^8} d\vec{x}^2 + dz^2 \right)$$

$$\phi(z) = \phi_\infty + \sqrt{\frac{3}{2}} \operatorname{arccoth} \left[ \frac{1 + z^8}{2z^4} \right]$$

- soluzione di SUGRA 10d tipo IIB, preserva  $SO(6)_R \times SO(1,3)$  ma rompe SUSY e invarianza conforme.
- L'interpretazione del duale è problematica ma modello utile per illustrare i concetti base.

Ci si aspetta:

- $B_{1/2} = 0$  perché R-simmetria non rotta.
- $C_s \neq 0$  e non supersimmetrici.



- Tutte le  $C$  asintotano al valore supersimmetrico (AdS) per grandi  $k$ .
- $C_{1/2}$  ha un polo a  $k^2=0 \rightarrow$  ci sono fermioni massless nello spettro del settore nascosto: fermioni di 't Hooft legati all'anomalia globale di  $SO(b)$ .

**Importante!**

Un polo in  $C_{1/2}$  per  $k^2=0$  implica che i **gaugini** prendono una **massa di Dirac!**

[Buican-Komargodski '09]

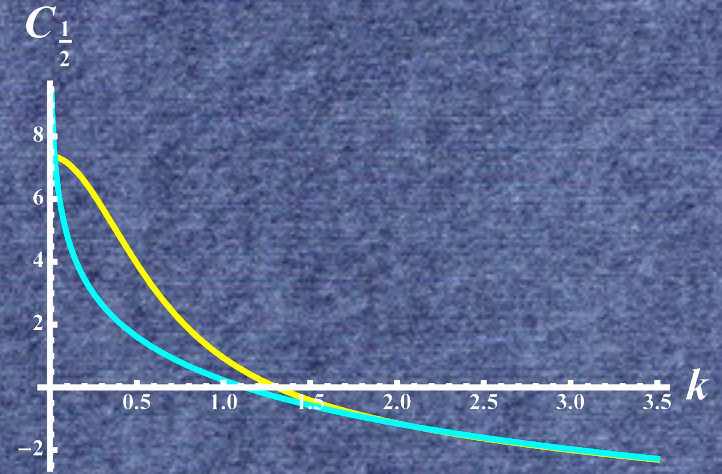
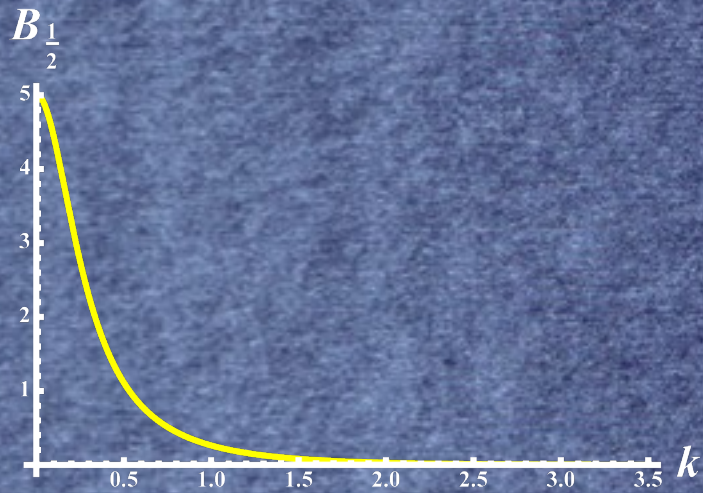
# Esempio: dilaton/eta domain wall

Aggiungiamo un altro scalare (carico sotto  $R$ -simmetria) al nostro bg

$$R = \begin{matrix} & g_{\mu\nu}, & \phi(z), & \eta(z) \\ \begin{matrix} \\ \\ \\ \end{matrix} & 0 & 0 & -2 \end{matrix}$$

Difficile trovare una completa soluzione analitica delle ODE  $\rightarrow$  lavoriamo all'ordine lineare in  $\eta$  (no backreaction).

$$\eta(z) = bz^2 {}_2F_1\left(\frac{1}{z^8}\right) + c {}_2F_1\left(\frac{1}{z^8}\right)$$



- Adesso  $B_{1/2}$  è diverso da zero, come ci si aspettava, e tende al valore supersimmetrico per grandi  $k$ .

**stupefacente!**

Il polo in  $C_{1/2}$  scompare, in perfetto accordo con l'interpretazione in QFT:

R-simmetria è rotta  $\rightarrow$  niente 't Hooft fermions.

# Conclusioni

- Abbiamo messo su un formalismo per *calcolare olograficamente le 2-punti di GGM* che si applica a qualsiasi *BG AAdS*. Può avere altri utilizzi : spettro glueball, BSM, Technicolor...
- Questioni aperte e possibili sviluppi:
  - Oltre ordine lineare in  $\eta$
  - Estendere a non AAdS (duali di teorie 'cascading' tipo KPV)
  - Considerare un  $G_{SM}$  più grande: non difficile dal punto di vista della SUGRA effettiva in 5d. A livello microscopico significa aggiungere D7-brane.
- Attualmente ci stiamo concentrando su modelli *bottom-up*: più flessibili, *scenari molto differenti per le 2-punti*. Risultati con bg tipo *Hard-Wall to appear...*

Grazie!

## Polo in $C_{1/2}$

se le funzioni  $C$  hanno poli le masse degli sfermioni sono date da

$$m_{\tilde{f}}^2 = -g^2 \int \frac{d^4 k}{(2\pi)^4} \sum_{I=0, \frac{1}{2}, 1} \frac{(-1)^{2I+1} N_I}{k^2 [1 + g^2 C_I(k^2)]}, \quad N_I = 1, 4, 3$$

Dal propagatore del gaugino

$$\langle \tilde{g}_\alpha \tilde{g}_{\dot{\beta}} \rangle = - \frac{p_m \sigma_{\alpha\dot{\beta}}^m}{k^2 (1 + g^2 C_{1/2}(k^2))}$$

si vede che un polo  $1/k^2$  corrisponde ad una massa di Dirac per il gaugino proporzionale al residuo. Lo spettro sarà tipo quello di gaugino mediation:

$$m_{\tilde{g}} \sim gM \qquad m_{\tilde{f}}^2 \sim g^2 m_{\tilde{g}}^2 \log(g)$$



# Azione per il background

$$S_{\text{b.g.}} = \int d^5x \sqrt{G} \left[ -\frac{1}{2} R + L_{\text{kin}} + \mathcal{V} \right]$$

$$L_{\text{kin}} = \frac{1}{4} \left[ 4\partial_\mu \eta \partial^\mu \eta + \cosh^2(\eta) \partial_\mu \phi \partial^\mu \phi + e^{2\phi} \cosh^4(\eta) \partial_\mu C_0 \partial^\mu C_0 \right]$$

$$\mathcal{V} = \frac{3}{4} (\cosh^2(2\eta) - 4 \cosh(2\eta) - 5)$$

Da N=2 SUGRA accoppiata con 1 ipermultipletto + 1 multipletto vett., il multipletto vettoriale e tutti i fermioni sono stati messi a zero per trovare le equazioni per il background.

# Azione per $V$

$$S_{\text{quad}} = \int d^5x \sqrt{G} [L_{\text{min}} + L_{\text{int}}]$$

$$L_{\text{int}} = \frac{1}{2} \delta M^2 D^2 + \delta m_D \bar{\lambda} \lambda \\ + \frac{1}{2} (m_M \bar{\lambda} \lambda^c + v_M \bar{\lambda} (\partial \eta) \lambda^c + \tilde{v}_M \bar{\lambda} (\partial \phi) \lambda^c + c.c.)$$

$$\delta M^2 = 2(\cosh^2(2\eta) - \cosh(2\eta)), \quad \delta m_D = \sinh^2(2\eta) \\ m_M = -i \sinh(\eta), \quad v_M = \frac{i}{\cosh(\eta)}, \quad \tilde{v}_M = -\frac{i}{2} \sinh(\eta)$$

si ottiene dall'azione di gauged SUGRA mettendo tutti i campi, meno il multipletto vet., al loro valore di BG e tenendo gli accoppiamenti con  $V$  fino all'ordine quadratico.